

## Ring-VCO를 이용한 멀티밴드 GPS 수신기용 PLL 설계

김윤진, 소병성, 고진호\*, 박근형

충북대학교, \*파이칩스

### A Ring VCO Based PLL for Low-Cost, Low-Power Multi-Band GPS Receiver

Yun-jin Kim, Byeong-seong So, Jin-ho Ko\*, Keun-hyung Park

Chunbuk National Univ., \*PHYCHIPS, Inc.

**Abstract :** This paper presents a multi-phase ring VCO for low-cost, low-power GPS receiver. In the RF band used in GPS, L1 band is now in commercial-use and L2,L5 are predicting to be commercial-use soon. Thus Wide band PLL and Cost-effective IC solutions are required for future multi-band GPS receiver that received three types band at once. A new PLL architecture for multi-band GPS application is proposed. Ring VCO is even smaller than LC-VCO and a good alternative for low-cost solution. Proposed multi-phase ring VCO offers wide frequency range covering L1, L2, and L5 band, 20% reduction of area, 23% reduction of PLL power and can generate I/Q without extra I/Q generator.

**Key Words :** Ring VCO, LC-VCO, PLL

### 1. 서 론

GPS는 위성 위치정보서비스로서 시간과 위치에 관한 정보를 제공해 주는 서비스로써 현재 24개의 위성이 운용 중인데 위치를 계산하기 위해서는 최소 4개의 위성 신호를 수신해야만 한다. GPS는 세 개의 RF 주파수 밴드를 사용하는데, L1 band 1.6GHz와 1.23GHz의 L2밴드, 그리고 1.18GHz의 L5 밴드가 GPS 대역에 할당되어 있다. L1밴드는 현재 상용화 중에 있고, L2, L5밴드는 향후 상용화 될 예정이다. 따라서 앞으로 세 밴드를 동시에 수신할 수 있는 수신기를 개발하기 위해서는 집적도가 높은 저가의 멀티밴드 GPS 칩이 필요하다.

세 대역을 동시에 수신하기 위해서는 세 개의 RF front end와 세 개의 PLL, 세 개의 base-band가 필요하게 된다. 그런데 VCO를 기준의 LC-VCO로 구현하는 경우, GPS 칩의 size가 커지는 문제점이 있어서 본 논문에서는 이 부분을 Ring VCO로 대체하여 면적과 가격을 획기적으로 개선하는 방안을 제시하려고 한다.

### 2. 실 험

기존의 L1밴드용 GPS는 PLL과 VCO부분이 전체 layout부분의 30% 이상을 차지하고 있고, 그 중 LC-VCO 가 대부분을 차지하고 있다. 또한 VCO와 PLL이 차지하는 전력소모가 전체의 40% 이상을 차지하고 있고, 그 중 VCO, div-2, LO buffer에서의 전력소모가 크기 때문에 이 부분의 전력소모를 줄이는 방안이 필요하다.

본 논문에서 제안한 PLL 구조가 아래 그림 1에 나타나 있다. 이 구조의 가장 큰 특징은 LC VCO를 대신하여 multi-phase Ring-VCO를 사용한 것이다. 이 구조를 사용함으로써 넓은 튜닝 range를 갖으면서 작은 면적으로 저가의 칩을 생산할 수 있고, I/Q 신호를 만들기 위해서 div-2 와 같은 별도의 회로가 필요로 하지 않고 VCO주파수도

LO주파수와 같은 주파수를 사용할 수 있다. 또한 CMOS 공정이 scale 다운되면서 전력소모량을 줄일 수 있는 장점이 있다.

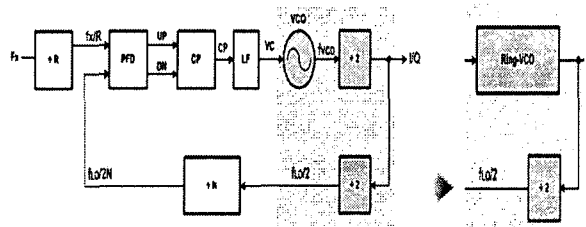


그림 1. Proposed PLL architecture

VCO 구조는 그림 2에서 보듯이 Core부분이 Ring-VCO로 바뀌었고 고주파 div-2 회로가 없어졌으며 PLL쪽으로 출력되는 부분은 CML 타입의 div-2와 DtoS를 사용했던 것을, 이 둘의 위치를 바꾸어 DtoS를 통해 CMOS level로 변환한 다음 TSPC를 이용한 div-2를 사용하도록 하였다. 일반적으로 TSPC로직은 CML에 비하여 전력효율이 높으므로 전체적으로 전력소모를 줄일 수 있게 된다.

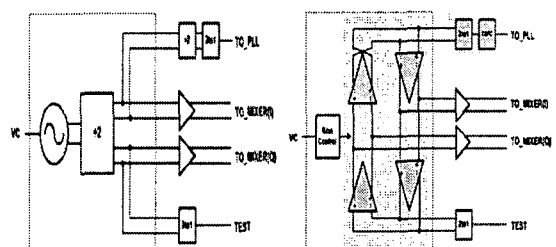


그림 2. Proposed Ring-VCO architecture

VCO Topology에서는 일반적으로 ring oscillator가 출수 개의 inverter를 사용하는 것과 달리 이 회로는 짹수개

의 inverter로 구성하여 그림 3.에서 보는 바와 같이 0도 90도 180도 270도 등 I/Q differential LO 신호가 모두 VCO 내부에서 생성되는 장점이 있다. 가운데 inverter cell이 cross coupling pair로 래치를 일으켜 DC가 평균적으로  $1/2 V_{DD}$ 로 멈추게 되어 delay cell로 역할을 한다. 따라서 diff. signal은 0, 180도를 생성하고 Quadrature signal은 90, 270도를 생성하게 된다. Inverter로만 구성을 했기 때문에 작은 Size와 높은 Speed, 공정에 따른 Scale 조절이 가능하다. [4]

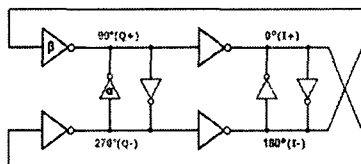


그림 3. Inverter based 4-Phase Ring-VCO

### 3. 결과 및 검토

본 논문에서 제시한 새로운 Ring-VCO의 레이아웃이 그림 4.에 나타나 있다. 그림에서 볼 수 있는 바와 같이, 원쪽 그림은 VCO부분을 확대한 그림이고 오른쪽 그림은 LC-VCO를 ring-VCO로 바꾼 그림이다. VCO의 size는 1/3 이 줄었고 PLL과 VCO 전체적으로는 1/2 가량 줄었다. 칩의 가격을 결정하는 가장 중요한 요건은 칩의 면적이라면 ring VCO를 사용하면 칩의 가격을 낮출 수 있다.

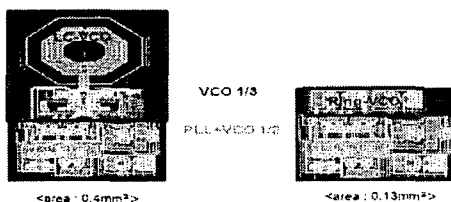


그림 4. PLL Layout for low-cost GPS

그림 5.은 VCO의 각 출력 노드 파형을 보여주고 있다. stage를 지날 때마다 90도씩 phase가 쉬프트 된 것을 볼 수 있으며 결국 우리가 원하는 I+, I-, Q+, Q- 신호를 모두 얻을 수 있고 swing Voltage가 500mV 임을 알 수 있다.

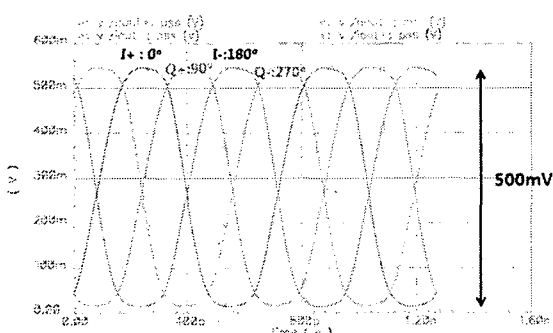


그림 5. Ring VCO multi-phase output waveform

그림 6.은 VCO의 phase noise 결과 파형이다. 1M 주파수 offset에서 -101dB로 GPS spec.(-90dB)보다 11dB margin을 갖는 결과가 나와서 GPS 수신기에 적용할 수 있음을 알 수 있다.

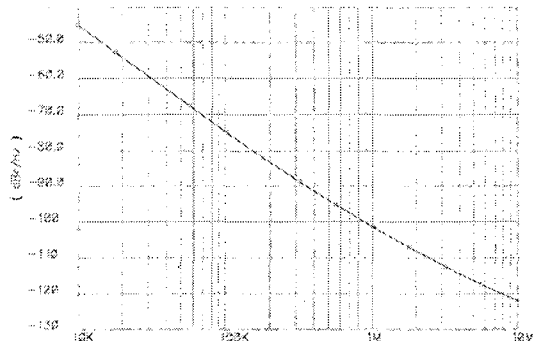


그림 6. VCO phase noise

### 4. 결론

멀티밴드용 GPS를 수신기를 위해서는 새로운 PLL Architecture가 요구된다. 따라서 본 논문에서는 Ring-VCO를 이용 GPS 수신기용 PLL을 제안했다. 표 1.에서 보듯이 두 개의 Reference보다 더 넓은 tuning range를 갖을 수 있어 L1, L2, L5 밴드 모두를 cover 할 수 있고, I/Q를 자체적으로 생성 가능함을 알 수 있다. 또한 20%의 면적을 줄일 수 있으며 23%의 전력도 감소시킬 수 있었다.

표 1. Result Summary

	Ref.[1] 2005JSSC	Ref.[2] 2003PHYCHIPS	This Work
Tech	0.18	0.13	0.13
VCO type	LC	LC	Ring
VCO frequency	1.4GHz	3.2GHz	0.8~2.2GHz
GPS band	L1/L2	L1 only	L1/L2/L5
Kvco	300MHz/V	140MHz/V	50MHz/V
LO phase-noise (1MHz freq. offset)	-109dBc/Hz	-121dBc/Hz	-101dBc/Hz
Power Consumption	VCO PLL	6.1mW 12.6mW	3.3mW 4.8mW
Die area	0.45mm²	0.4mm²	0.13mm²

### 참고 문헌

- [1] Giampiero. Montagna et al., "A 35-mW 3.6-mm<sup>2</sup> Fully Integrated 0.18- $\mu$ m CMOS GPS Radio," IEEE JSSC Jul 2003.
- [2] Jinho Ko et al., "A 19-mW 2.6-mm<sup>2</sup> L1/L2 Dual-Band CMOS GPS Receiver" IEEE JSSC Jul 2005.
- [3] PHYCHIPS, internal document
- [4] Willem Laflere et al., "A Polar Modulator Using Self-Oscillating Amplifiers and Injection-Locked Upconversion Mixer" IEEE JSSC Feb 2008.